

# HP 23 - Capteurs & Transducteurs

## I - Etude de capteurs (passifs) de température.

### 1. Etalonnage des capteurs (théorie la suivante)

#### a) Dispositif expérimental.

- choix des thermomètres de référence.

- nécessité d'isoler

- protocole

#### b) La résistance de platine.

- eqn  $R = f(\theta)$

- mesure de R

- résultats.

#### c) La thermistance CNI

- eqn  $R = f(T)$

- mesure de R

- résultats & calcul du  $\alpha$ .

#### d) Thermocouple.

- principe

-  $V = f(T)$

- résultats & calcul du pouvoir thermoélectrique.

\* Bilan.

### 2. Comparaison des caractéristiques des capteurs

#### a) sensibilité.

#### b) temps de réponse.

\* conclusion.

## II - Etude d'un transducteur (électrodynamique) : le haut-parleur

### 1. Mise en évidence qualitative des couplages.

a) couplage électro-dynamique.

b) couplage dynamique-acoustique.

c) réversibilité des couplages.

### 2. Détermination des caractéristiques du HP.

a) linéarité en amplitude en régime dynamique

b) Détermination de la constante de couplage électromécanique.

#### Biblio:

- Bonini - Quarta tome IV
- Tome II
- Les capteurs - Ash } par la théorie
- Les capteurs - Berto }

#### Biblio:

- Quarta tome IV.
- Patti Electroacoustique (par la théorie)

1. Introduction  
 2. Methodology  
 3. Results  
 4. Discussion  
 5. Conclusion

1. Introduction

The purpose of this study is to investigate the effects of various factors on the performance of a system. The study is divided into several sections, including an introduction, methodology, results, discussion, and conclusion.

2. Methodology

The methodology used in this study involves a series of experiments designed to measure the performance of the system under different conditions. The results of these experiments are presented in the following sections.

3. Results

The results of the experiments show that the performance of the system is significantly affected by the various factors investigated. The data indicates that there is a strong correlation between the factors and the system's performance.

4. Discussion

The discussion of the results highlights the importance of the factors investigated and provides insights into the underlying mechanisms of the system's performance. The findings suggest that further research is needed to explore the relationship between these factors and system performance.

5. Conclusion

In conclusion, the study has demonstrated the significant impact of the investigated factors on the system's performance. The results provide a clear understanding of the system's behavior and offer valuable insights for future research and practical applications.

1. Introduction  
 2. Methodology  
 3. Results  
 4. Discussion  
 5. Conclusion

1. Introduction

The purpose of this study is to investigate the effects of various factors on the performance of a system. The study is divided into several sections, including an introduction, methodology, results, discussion, and conclusion.

2. Methodology

The methodology used in this study involves a series of experiments designed to measure the performance of the system under different conditions. The results of these experiments are presented in the following sections.

3. Results

The results of the experiments show that the performance of the system is significantly affected by the various factors investigated. The data indicates that there is a strong correlation between the factors and the system's performance.

# I - Capturs de température

La mesure des températures est réalisée au moyen d'un capteur de température ou d'un thermomètre. Le choix de la grandeur thermométrique donne naissance à  $\neq$  types de thermomètres.

Nous nous intéressons ici aux thermomètres électriques et le fonctionnement utilisé des  $\neq$  variés et nous allons les composer.

→ 1 Thermomètre à résistance métallique (Platine) :  $R_{T=100}$  ;  $R$  varie avec  $T$

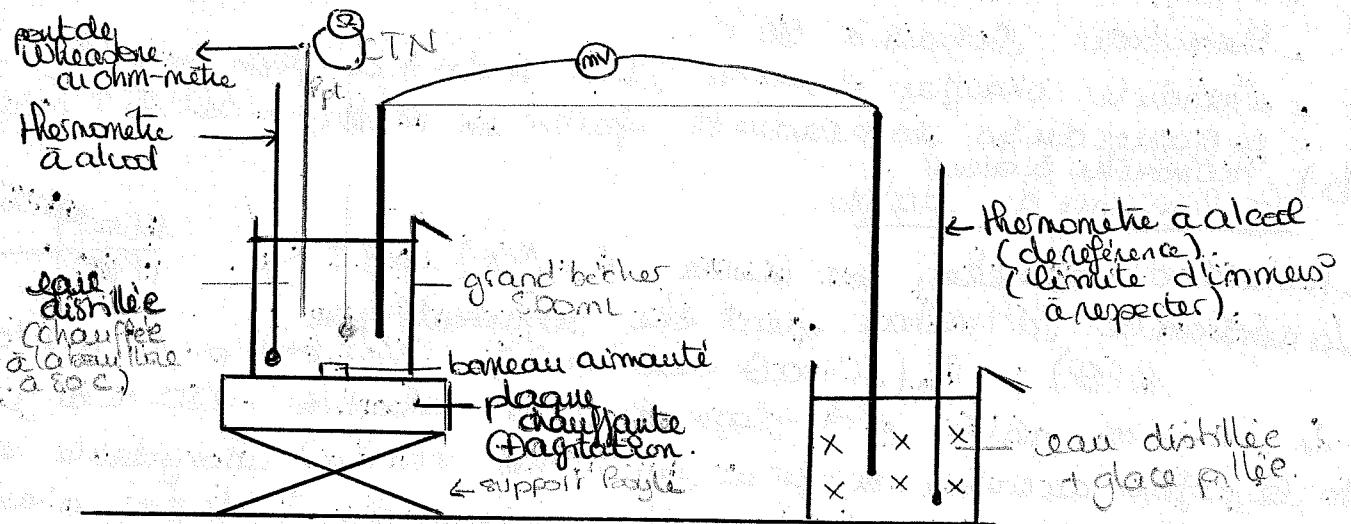
→ 2 Thermistance CTN : la  $R$  varie avec  $T$  ;  $N \Rightarrow R \rightarrow \text{quand } T \uparrow$

→ 3 Thermocouple de type K : basé sur l'effet Seebeck se produisant à la soudure de 2 métaux  $\neq$  à  $2T^\circ \neq$  (alliages)

## 1. Etalonnage des $\neq$ capteurs

Pour repérer avec précision la température d'un corps caractérisé par le nb  $\theta$ , on est amené à la rattacher à 1 grandeur mesurable  $g$  par l'intermédiaire d'un  $\neq$  physique lié aux variat<sup>ns</sup> de température de ce corps. La relation  $g = f(\theta)$  doit être  $\mathcal{C}^\infty$  et uniforme de  $T$  par la fidélité du repérage. Cette relat<sup>n</sup> définit une échelle de température.

### a) Dispositif expérimental.



### Remarques sur le dispositif expérimental :

• choix du thermomètre de référence :  
 Pour caractériser les  $\neq$  thermomètres, nous avons choisi d'utiliser comme référence 1 thermomètre de référence (thermomètre à alcool) qui a été métrologiquement étalonné par le constructeur.

En effet l'étalonnage que l'on va faire va dépendre de l'échelle thermométrique. La relat<sup>n</sup> linéaire entre  $g$  et  $\theta$  si elle est linéaire sera complètement.

défini par 2 temp<sup>s</sup> gales  $\theta_1$  et  $\theta_2$  facilement réalisables 2  
reproductibles et les valeurs numériques st attribuées conventionnellement.

ex: 0°C : T° de g glace / eau pure à P<sub>0</sub>

100°C : " " eau pure liquide / vapeur à P<sub>0</sub>

pts triples  
T° fus<sup>n</sup> étain

Pour des lectures précises, il est nécessaire q la totalité du thermomètre  
plonge ds le bain st fait la mesure précise, sinon il faut faire  
une "correct<sup>n</sup> de colonne émergente (voir Tome II Bonni). (Pb d'hytérésis  
due à la dilat<sup>n</sup> du verre, pression hydrostatig qui comprime le  
liquide (Hg ou alcool) ! ce pb est éliminé qd on mesure ds écarts de temp<sup>erature</sup>  
Cependant, sur certains thermomètres, cette correct<sup>n</sup> est déjà effectuée  
et on la remarque indiquant la limite d'immers<sup>n</sup>.

### nécessité d'agiter le bain

le milieu de mesure n'est jamais à une temp<sup>erature</sup> uniforme,  
il faut noter que l'on ne devra jamais attendre d'une mesure absolue,  
une précision > à la  $\neq$  max de temp<sup>erature</sup> ds le milieu.

Il faut de agiter pr avoir 1 temp. la  $\oplus$  homogène possible.

### Protocole

- chauffer eau distillée ds bouilloire.

- thermostat<sup>er</sup> le bain à 90°C.

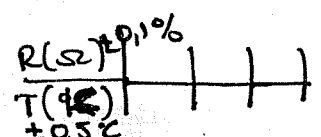
- éteindre le chauffage et prendre 1 pt à des  $\neq$  de T fixes entre (90°C et 25°C)

- pr gagner du ms les mesures st faites en m<sup>in</sup> ms; on contrôle T grâce à 1

b) thermomètre à alcool  
la résistance de platine.

- A l'aide d'un ohmètre, on mesure  $R = f(\theta)$  qnd T  $\rightarrow$ .

La résistance d'un métal peut être représentée par:  
 $R(\theta) = R_0(1 + a\theta + b\theta^2 + c\theta^3)$  (voir Bert p. 62 pr détail calcul)



- le platine est utilisé pr ds plages de temp allant de -250°C à +1000°C.

On le préfère au cuivre, au fer ou au nichel car il est inoxydable et

on peut l'obtenir très pur (99.99%) et le Pt, le terme du 3<sup>e</sup> degré n'est

nécessaire que pour les  $\theta \in [-250^\circ\text{C}; 0^\circ\text{C}]$ ; aux temp. où l'on va

travailler on peut négliger le terme du 2<sup>nd</sup> degré sans introduire

d'erreur > 2% (c =  $-5,8 \cdot 10^{-7} \text{ K}^{-2}$ )

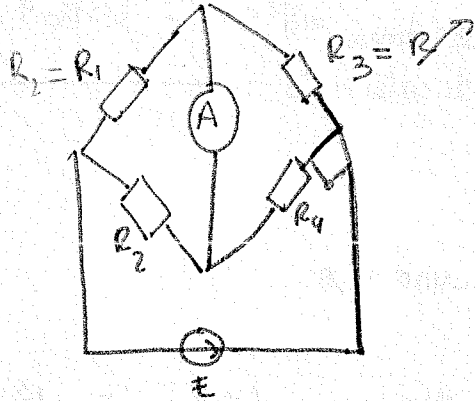
$$\Rightarrow \text{pt } 100 \Rightarrow R_0 = 100 \Omega$$

$$\text{et } R(\theta) = R_0(1 + a\theta) \quad a = 3,908 \text{ K}^{-1}$$

Le fil de platine est entouré d'un gaine cylindrique de laiton ou d'étain qui assure  
une protection en  
Il a une grande résistivité ( $9,81 \cdot 10^{-8} \Omega \cdot \text{m}$  à 0°C)  $\Rightarrow$  en conséquence se réduit pr

Remarque sur la mesure de R. (Asch)

Normalement, la résistance doit être mesurée avec précision à l'aide d'un pont de Wheatstone.



Le pont est équilibré quand  $i = 0$  i.e.  
 $R_1 R_4 = R_2 R_3$  si  $R_1, R_2 \gg R_3$

si  $R_4 = R_{pt}$ , la précision sur  $R_{pt}$  dépend de la précision sur les 3 autres.

La + grde erreur de mesure vient du fait que les résistances des fils de connexion induisent des perturbations qui ne sont pas éliminées automatiquement.

En effet, les résistances  $R_{fi}$  peuvent ne pas être négligeables %  $R_{pt}$ .

Si les 2 fils font partie de la même branche de part que le capteur, il est impossible de distinguer une variation de résistance  $\Delta R_{fi}$  dues à la  $\theta$  de celle de  $\Delta R_{pt}$ .

$\Rightarrow$  montage à 3 fils

Cependant, ici nous disposons d'un ohm-mètre avec une précision de  $\pm 0,1\%$  de calibre  $200 \Omega$ .  $\Rightarrow$  précision idem que pont de Wheatstone. [Ber p. 81]. De la résistance des fils est de  $0,3 \Omega \ll \sim 200 \Omega$

$\Rightarrow$  De la plage de température utilisée, nous avons suffisamment de précision.

Résultats.

on trace  $R_{pt} = f(\theta \text{ en degrés})$  + régression linéaire.  $\oplus$  1 point  
 on trouve  $R_{pt} = 10 \left( 1 + 3,710 \cdot 10^{-3} \theta \right) = R_0 (1 + a\theta)$

or dans les tables,  $R_0 = 100 \Omega$   
 $a = 3,9 \cdot 10^{-3} \text{ K}^{-1}$ .

$\Rightarrow$  écart relatif :  $\epsilon = \frac{3,9 - 3,7}{3,7} = 5\%$

$\Rightarrow$  incertitude :  $\frac{\Delta R_{pt}}{R_{pt}} = \frac{\Delta a}{a} + \frac{\Delta T}{T} =$

$\Rightarrow$  bon accord,  $R_{pt}$  est bien linéaire de la donnée de températures posées.

c) La thermistance CTN.

→ Thermomètre à semi-conducteur.  $R = R_0 \exp\left[B\left(\frac{1}{T} - \frac{1}{T_0}\right)\right]$   
 protégé par gaine isolante  
 où  $T_0 = 273,15K$ .

$R_0 = R(T = 0^\circ C) = 47 \Omega$  (donnée)

$$\ln R = \ln R_0 + \frac{B}{T} - \frac{B}{T_0}$$

$B = \frac{\Delta W}{2k_B}$  ← largeur bande interdite

→ Précision de R.  
 $\frac{R(\Omega) \pm 0,1\%}{T(^{\circ}C) \pm 0,5^{\circ}C}$

⇒ R ↓ quand T ↑

on trace  $\ln R = f\left(\frac{1}{T}(K^{-1})\right)$  ⇒ donc

$\ln R_{CTN} = 12,57 - 2,92 \cdot 10^3 \frac{1}{T}$

⇒  $\frac{\Delta W}{2k_B} = 2,9 \cdot 10^3 K^{-1}$

gap ⇒  $\Delta W = 6 \cdot 10^{-20} J = 0,2 \cdot 5 eV$   
 ⇒ pas dopé pr être possible à la température.

→ incertitude

d) Thermomètre à thermocouple. p. 177 Tome II Bernini.

Principe:  
 ⇒ basé sur effet thermoelectrique (Seebeck, 1823)

effet Seebeck : créat d'1 ddp en circuit ouvert d'1 matériau soumis à 1 gradient de température. Effet Peltier + Effet Thomson.

on a  $\vec{E} = -\vec{\nabla}V = -\epsilon \vec{\nabla}T$   
 ↑                      ↑  
 Loi d'Ohm            ⇒ Fourier

⇒ ddp nulle entre 2 pts d'1 conducteur homogène retrouvant à la mT.

⇒ il faut combiner de matériaux ≠ ⇒ ddp du fait que ces matériaux n'ont pas le même coeff. thermoelectrique

$e = \int dV = (E_A - E_B) \Delta T$

ici jonction métal- 1/2 conducteur (Ni-Cr / Ni-Al) car  $E_A - E_B$  grad

Dispositif: Il faut déterminer la fem du thermocouple pr  $\neq \Delta T$  ⇒ pr s'affranchir

d'inert, on met une des extrémités ds la glace + eau ⇒ température fixe (cf bain glace) et on plonge l'autre partie dans le bain. /! s'arrêter de la temp.  $T = 0^\circ C$ .  
 ⇒ on a alors accès directement à  $T_{bain}$ .  
 La mesure est effectuée à courant nul car on veut déterminer la fem.

⇒ on trace  $V = f(T_{bain} ^{\circ}C)$ .

$\frac{V(mV) \pm 0,1\%}{T_{bain}(K) \pm 0,5^{\circ}C}$

Regression linéaire ⇒  $V = -2,5 \cdot 10^{-4} + 6,08 \cdot 10^{-5} T$

⇒ pouvoir thermoelectrique:  $\gamma = 41 \mu V/K$  (p. 108 Beert)

bilan

- Rpt linéaire d'ordre 1 'étudié'  $\Rightarrow$  idéale pour connaître (référence) (peu de pts fixes p la calibration)
- $\Rightarrow$  référence (d'ailleurs expression  $R = f(\theta)$  tabulée à 6 c. après)

- CTN  $\Rightarrow$  exponentielle.
- Thermocouple  $\Rightarrow$  linéaire.

2 - Comparaison des caractéristiques de capteurs.

a) Sensibilité

[Bert p. 20]

Un thermomètre est d'autant + sensible qu'il permet de détecter des + petites variations de  $\theta$ .

La sensibilité s'exprime par  $\rho = \frac{d\alpha}{d\theta}$   $\leftarrow \alpha$ : grandeur variable du capteur.

$\Rightarrow$  la + petite variation de température est  $\Delta\theta = \frac{\Delta\alpha}{\rho}$ . Sensibilité

• Rpt:  $\rho = \frac{dR_{Rpt}}{d\theta} = \alpha R_0 = 3,9 \cdot 10^{-2} K^{-1} \Rightarrow \rho' = \frac{1}{R} \frac{dR}{d\theta} = 3,9 \cdot 10^{-4} C^{-1}$

• Thermistance:  $\rho = \frac{1}{R_{CTN}} \frac{dR_{CTN}}{dT} = -\frac{\beta - K^{-1}}{T^2 - K^2} \Rightarrow$  pour  $T_{grd}$ ,  $\rho = 1,96 \cdot 10^{-2} K^{-1} \Rightarrow \rho \sim 2 \cdot 10^{-2} K^{-1}$   
 pour  $T_{petit}$ ,  $\rho = 1,93 \cdot 10^{-2} K^{-1}$

• Thermocouple

$\rho = \frac{1}{V} \frac{dV}{d\theta} = 4,08 \cdot 10^{-5} K^{-1}$

$\Rightarrow$   $\rho_{slagamme de T \text{ étudiée}} > \rho_{Thermistance} > \rho_{Rpt} > \rho_{thermocouple}$

b) Temps de réponse. [Bert + Benini]

Pour la part des appareils de mesure,  $\tau$  petit  $\Rightarrow$  ne pas en tenir compte. ( $< 100ms$ )

Ce n'est pas forcément le cas des indicateurs de  $\theta$ .

$\Rightarrow$  il faut pouvoir en choisir 1;  $\tau$ : temps minimal d'attente.

idées: A  $t=0$ , on pose le capteur initialement à la temp  $\theta_0$  (à l'intérieur)

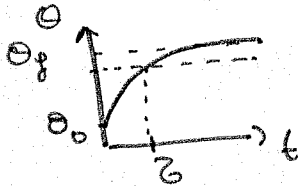
initialement à la température  $\theta_0$ .

$m_j \frac{d\theta}{dt} = K(\theta_1 - \theta) dt = c d\theta$   
seule  $d\theta/dt$  ↑ opa calorig

$\Rightarrow \theta = \theta_1 + Ae^{-t/\tau}$   
 $\theta = \theta_1$  si  $t \rightarrow \infty$ .

Protocole :

Le bain est à  $T_{amb} = 25^{\circ}C$ . On plonge les capteurs de la bain glacé  
 $\Rightarrow R_{pt}, R_{CTN}$  et  $V_{thermo}$  ont valeur  
à  $0^{\circ}C \Rightarrow$  on relève les valeurs  $R_{pt}, R_{CTN}$  et  $V_{thermo}$  quand elles st  
stables. On plonge ensuite de nouveaux de la bain de  $\pm$  sensés et  
on attend q les valeurs mesurées soient stables.  $\Rightarrow$  REPONSE à l'ECHELON.  
A  $t=0$  on plonge le capteur de la bain de laud; on mesure le  $\tau_0$  nécessaire pr passer à la  
Def:  $\tau =$  durée nécessaire pr approcher la valeur attendue de la place  
à 10% près.



Résultats :

Temp. / capteur	$R_{pt}$ $\pm 0,1\% \Omega$	Thermocouple $\pm 0,1\%$	Thermistance. $\pm 0,1\%$
$\theta_1 = 26,5^{\circ}C$	110,7 $\Omega$	0,0 mV	46,0 $\Omega$
$\theta_2 = 5^{\circ}C$	106 $\Omega$	0 mV	114,5 $\Omega$
$\tau (X_p - 10\% \Delta X)$	72 s	4 s	2,4 s

$\Rightarrow \tau_{Thermo}, \tau_{Thermistance} \gg \tau_{R_{pt}}$   
 $\tau$  depend gamme protectrice.

Conclusion:  $\tau_{Thermocouple}, \tau_{Thermistance} \gg \tau_{R_{pt}}$

$\tau_{Thermistance} > \tau_{R_{pt}} > \tau_{Thermocouple}$

$\Rightarrow$  Thermocouple & CTN servir à asservissement de T malgré mauvaise linéarité

$\Rightarrow R_{pt} : \tau$  long mais très linéaire  $\Rightarrow$  Référence.

$\Rightarrow$  Le choix de capteur dépendra de l'utilité que l'on veut en faire.

# II - Etude du HP

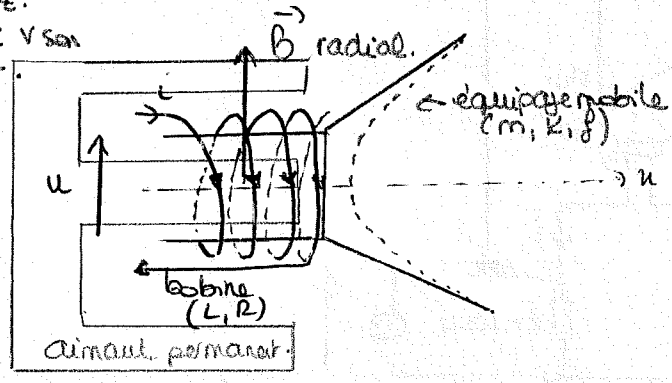
a) Def & eq<sup>ts</sup> de fonctionnement. [Annex p. 471 & p. 205]

Def: Un transducteur électromécanique est l'appareil électromécanique permettant la conversion ou le transfert de signaux de façon réversible d'énergie.

C'est des Σ couplés.

## Schema du HP:

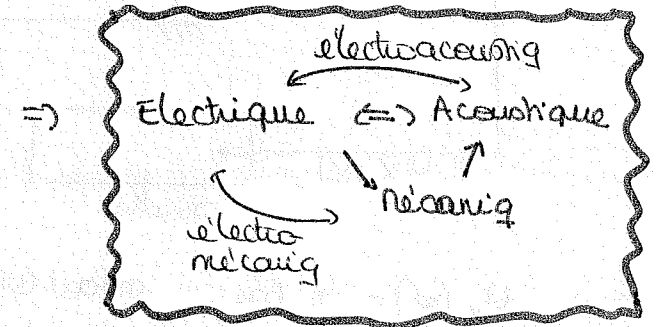
hyp:  $f < 20000$  Hz.  
dim. HP  $< \lambda$  son  
 $\Rightarrow$   $\phi$  rayonnant.



enroulement (bobine) de champ B créé par l'aimant.  
 $e$ : largeur enroulement  
 $i$  alternatif  
 $\Downarrow$   
force la plaque  $\vec{F} = B \vec{e} i$   
 $\Downarrow$   
mvt de la membrane de masse  $m$   
 $\Downarrow$   
production.

2 eq<sup>ts</sup>:

$$\begin{cases} m \ddot{x} = -kx - b \dot{x} + B e i \\ u = R i + B e x + L \frac{di}{dt} \end{cases}$$



$\Rightarrow$  en complexe:

$$\underline{u} = R \underline{i} + j \omega L \underline{i} + \frac{(B e)^2 j \omega \underline{i}}{m(j \omega)^2 + k j \omega + k}$$

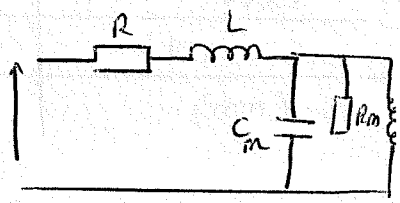
$$\Rightarrow Z = \frac{u}{i} = R + j \omega L + \frac{Z_m}{\text{impédance mécanique}}$$

$$Z_m = R_m \parallel L_m \parallel C_m$$

avec  $R_m = \frac{(B e)^2}{f}$ ;  $L_m = \frac{(B e)^2}{k}$ ;  $C_m = \frac{m}{(B e)^2}$

or  $f < 20000$  Hz,  $L$  négligeable.

schema électiq équivalent



## 1 - Niveau tendance des couplages & de la réversibilité.

a - couplage  $i$  / mécanique.

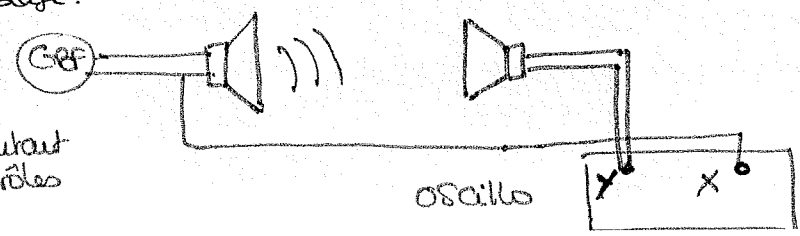


$x \rightarrow i$ : on tape la membrane avec les disques pour l'alimenter  $\Rightarrow$  on voit le signal.

b) couplage mécanique / acoustique à haute  $f \Rightarrow$  on entend le son.

c) Réversibilité du couplage.

2 HP identiques



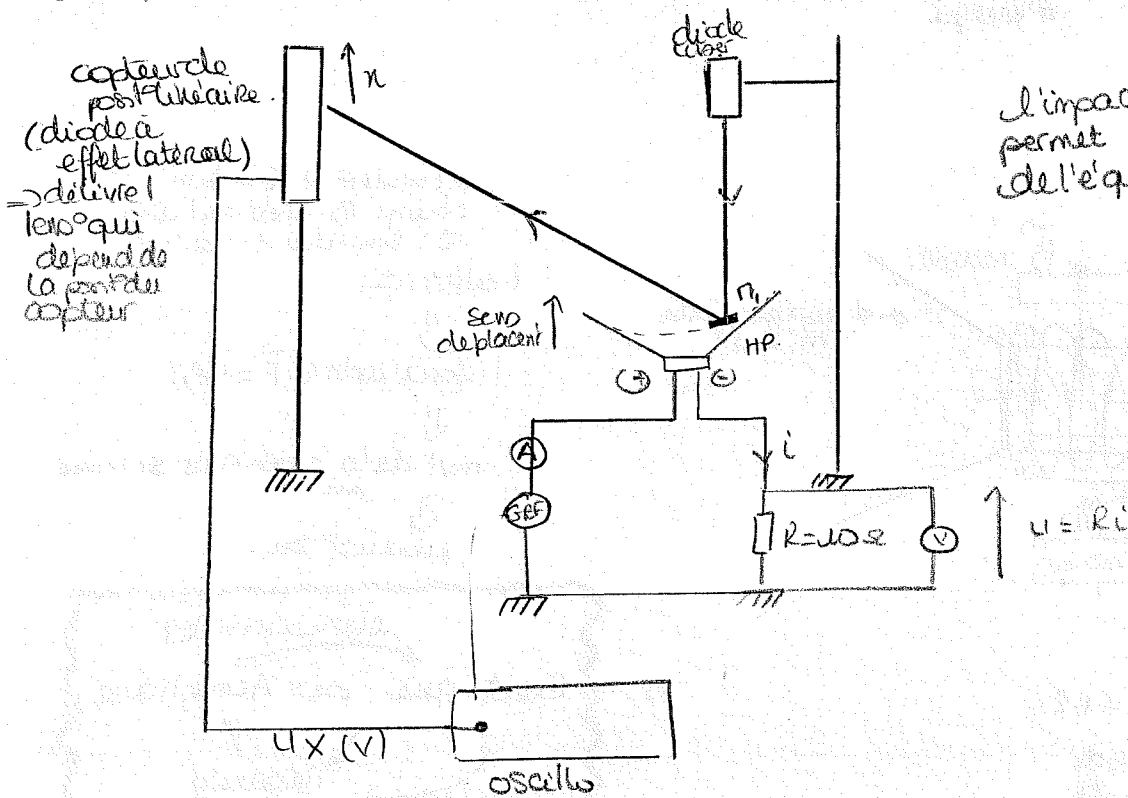
$\Rightarrow$  les 2 signaux et à la même fréquence.

on fait l'exp en permutant les 2 HP pr montrer les 2 rôles émetteur / récepteur.

1. Caractéristique [Bouvier p. 559].

⇒ caract. essentielle d'un capteur.

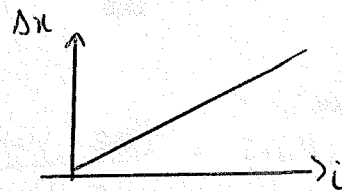
Mode op: A f donnée (poche de  $f_0$  pour avoir  $I_{max}$  d'amplitude), on mesure l'amplitude du déplacement de la membrane en fct de l'intensité envoyée.



l'impact du laser sur l'écran permet de repérer le déplacement de l'équipage mobile.

ona  $U_x (V) = k \Delta x$ . on fait d'autres mesures.

$U_x (V) \pm 3mV$	
$i \pm 0,01A$	
$\Delta x (mm)$	



Rq: A une autre f on avait trouvé l'autre pente.

$$\underline{U} = R \underline{I} + j\omega BL \underline{x} + j\omega \underline{I}$$

$$\underline{U} = (R + j\omega L) \underline{I} + j\omega BL \underline{x}$$

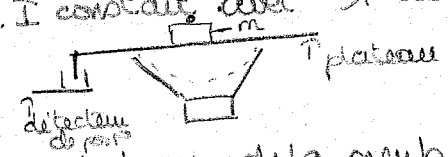
$$\Rightarrow \underline{x} = \frac{\underline{U} - (R + j\omega L) \underline{I}}{j\omega BL}$$

$$\Rightarrow |\underline{x}| = \frac{|\underline{U} - R \underline{I}|}{\omega BL} = \frac{|U_0 e^{j\omega t} - R I_0 e^{j\omega t}|}{\omega BL} = \frac{U_0 - R I_0}{\omega BL} = \frac{U_0 - R I_0}{\omega BL}$$

$$\Rightarrow x = \frac{U_0}{2\pi \nu BL} - \frac{R I}{\omega BL} \Rightarrow \text{pente} = \frac{R}{2\pi \nu BL} \quad \nu \cdot s^{-1} T^{-1} m^{-1}$$

3) de l'équilibre du piston

° Montage sauf que on remplace à I constant avec 1 alimentat<sup>on</sup> B°  
 ⇒ en statique :  $\boxed{Bl_i = kx}$



on pose une masse de masse connue sur le plateau de la membrane.  
 on s'assure par avoir  $\Delta x = 0$ .

° Allég ⇒  $mg + Bl_i - kx = 0$

⇒  $g \Delta m = \frac{Bl_i}{k} = Bl_i \frac{\Delta m}{k} \Rightarrow \frac{\Delta m}{\Delta l} = \frac{Bl}{g} = \boxed{Bl = g \frac{\Delta m}{\Delta l}}$

	$m = 0$	$m = 10g$	
Temp° associée	$l_{x_0}$	$l_{x_2}$	⇒ $\frac{\Delta m}{\Delta l} = \frac{10g}{ l_{x_2} - l_{x_0} } = \frac{Bl}{g}$
associée. $l_{x_0}$	$l_{x_2}$		

→ on fait la même pr ≠ pls et on trace  $\Delta m = f(\Delta l)$   
 droite ⇒ pente  $\frac{Bl}{g}$

Résultats + incertitude:

Conclusion:

Nous avons pu au cours de ce montage caractériser des capteurs et des transducteurs. Ils ont en commun la linéarité de la réponse. Opt pr le transducteur le capteur est réversible.

Correction

Sur le haut parler :

